Zwei- und dreikernige Fluorooxoanionen des Molybdäns und Wolframs. Kristallstrukturen von $K_2(NMe_4)[Mo^V_2O_2F_9] \cdot H_2O$ und $(NMe_4)_2[Mo^{VI}_2O_4F_6(H_2O)]$

Di- and Trinuclear Fluorooxoanions of Molybdenum and Tungsten. Crystal Structures of $K_2(NMe_4)[Mo^V_2O_2F_9] \cdot H_2O$ and $(NMe_4)_2[Mo^{VI}_2O_4F_6(H_2O)]$

Manfred Leimkühler, Norbert Buchholz und Rainer Mattes*

Anorganisch-Chemisches Institut der Westfälischen Wilhelms-Universität Münster, Wilhelm-Klemm-Straße 8, D-4400 Münster

Z. Naturforsch. 44b, 389-394 (1989); eingegangen am 5. Dezember 1988

Fluorooxomolybdates(V) and (VI), Crystal Structure

From aqueous HF solutions the following fluorooxo complexes have been obtained: $K_2(\mathrm{NMe_4})[\mathrm{Mo_2O_2F_9}]\cdot\mathrm{H_2O}$ (1), $K(\mathrm{NMe_4})_2[\mathrm{Mo_3O_6F_9}]$ (2), $(\mathrm{NMe_4})_2[\mathrm{Mo_2O_4F_6}(\mathrm{H_2O})]$ (3), $(\mathrm{NMe_4})_2[\mathrm{W_2O_4F_6}(\mathrm{H_2O})]$ (4) and $(\mathrm{NEt_4})_2[\mathrm{Mo_2O_4F_6}]$ (5). The structures of 1 and 3 have been fully determined: Crystal data, 1, orthorhombic, space group Abm2, a=632.4(2), b=2078.8(6), c=1252.3(4) pm, Z=4; 949 reflections, R=0.0203. 3, orthorhombic, space group Pca2₁, a=1086.1(2), b=1386.1(2), c=1194.4(2) pm, Z=4; 1826 reflections, R=0.0231. 1 and 3 contain dimeric fluoro-bridged anions. The central atoms of 3 (and of the isostructural 4) are unequally coordinated. The anion of 2 is a cyclic fluoro-bridged trimer with *cis*-dioxo groups in the molecular plane. In the anion of 5 two octahedra share an edge, occupied by fluoro ligands.

Einleitung

Nach ¹⁹F- und ⁵¹V-NMR-Untersuchungen liegen in flußsauren V2O5-Lösungen [VOF4(H2O)]--Ionen mit C_{4v} -Symmetrie vor [1–3]. Ähnliche Verhältnisse gelten vermutlich auch für die Lösungen von Molybdän(V)-Verbindungen. Flußsaure MoO3- bzw. WO3-Lösungen enthalten nach ¹⁹F-NMR-Messungen $[MO_2F_3(H_2O)]^-$ -Ionen, also Dioxospezies [4,5]. Wie wir in einer vorausgehenden Arbeit am Beispiel von Vanadinverbindungen gezeigt haben [6], kristallisieren aus diesen Lösungen mit Tetraalkylammonium als Gegenionen neuartige zwei- oder dreikernige anionische Fluorooxometallate. Im folgenden berichten wir über die Darstellung solcher Verbindungen mit Molybdän(V) und -(VI) sowie Wolfram(VI) als Zentralatome und ihre strukturelle Charakterisierung.

Experimentelles

Synthesen

 $K_2(NMe_4)$ - μ -fluoro-bis(tetrafluorooxomolybdat(V))-hydrat, $K_2(NMe_4)[Mo_2O_2F_9] \cdot H_2O$ (1)

2 g (7,3 mmol) MoCl₅ wurden in 10 ml 40-proz. HF gelöst und mit einer wäßrigen Lösung von 1,1 g (10 mmol) NMe₄Cl und 0,1 g (1,3 mmol) KCl versetzt. Nach Einengen auf etwa 3 ml bildeten sich gut

Verlag der Zeitschrift für Naturforschung, D-7400 Tübingen 0932-0776/89/0400-0389/\$ 01.00/0

ausgebildete, quaderförmige, hellblaue Kristalle. Sie wurden unter Stickstoff abgesaugt und in Polyethylengefäßen aufbewahrt.

Analyse: $C_4H_{14}F_9K_2Mo_2NO_3$ (564,9) Gef. C 8,6 H 2,4 N 2,5, Ber. C 8,5 H 2,5 N 2,5.

 $K(NMe_4)_2$ -cyclo-tris(μ -fluoro-trifluorodioxo-molybdat(VI)), $K(NMe_4)_2[Mo_3O_6F_9]$ (2)

 $1~g~MoO_3~(6,9~mmol)$ wurden in der Hitze in 10~ml~40-proz. HF gelöst und mit $1,5~g~(14~mmol)~NMe_4Cl~und~0,1~g~(1,3~mmol)~KCl~versetzt.$ Beim Einengen und Abkühlen bildeten sich nadelförmige, farblose Kristalle.

Analyse: C₈H₂₄F₉KMo₃N₂O₆ (742) Gef. Mo 38,7 C 13,3 H 3,2 N 3,9, Ber. Mo 38,8 C 12,9 H 3,2 N 3,8.

 $(NMe_4)_2$ - μ -fluoro-aquo-hexafluoro-tetraoxodimolybdat(VI), $(NMe_4)_2[Mo_2O_4F_6(H_2O)]$ (3)

 $1~{\rm g}$ (6,9 mmol) MoO $_3$ wurden in etwa $10~{\rm ml}$ 40-proz. HF gelöst. Dazu wird eine Lösung von $1,1~{\rm g}$ (10 mmol) NMe $_4$ Cl in Wasser gegeben. Beim Einengen und Abkühlen bildeten sich farblose nadelförmige Kristalle.

Analyse: C₈H₂₆F₆Mo₂N₂O₅ (535,8) Gef. Mo 35,7 C 18,1 H 5,0 N 5.3, Ber. Mo 35.8 C 17.9 H 4.9 N 5.2.

Auf analoge Weise konnte auch $(NMe_4)_2[W_2O_4F_6(H_2O)]$ (4) dargestellt werden.

^{*} Sonderdruckanforderungen an Prof. Dr. R. Mattes.

 $(NEt_4)_2$ -di- μ -fluoro-bis(difluoro-dioxo-molybdat(VI)), $(NEt_4)_2[Mo_2O_4F_6]$ (5)

Zu einer Lösung von 1 g MoO_3 (6,9 mmol) in 10 ml 40-proz. Flußsäure wurden 2,29 g Tetraethylammoniumchlorid (13,8 mmol) gegeben. Nach dem Einengen und Abkühlen der Lösung fielen längliche, plättchenförmige Kristalle der Verbindung (NEt_4)₂[$Mo_2O_4F_6$] aus.

Analyse: C₁₆H₄₀F₆Mo₂N₂O₄ (630) Gef. Mo 30,52 F 18,29, Ber. Mo 30,44 F 18,08.

Strukturbestimmungen

Gitterkonstanten und Intensitäten wurden mittels eines Syntex-P2₁-Vierkreisdiffraktometers (Mo-K_a-Strahlung, Graphitmonochromator) gemessen. Weitere Daten zu den Strukturbestimmungen sind in Tab. I enthalten. Bei der Strukturbestimmung von 1 wurde die Lage des Molybdänatoms durch eine Pattersonsynthese ermittelt. Sie ließ ebensowenig wie die Statistik der E-Werte eine Entscheidung über die vorliegende Raumgruppe Abmm (Standardaufstellung Cmma, zentrosymmetrisch) oder Abm2 (azentrisch) zu. Die Raumgruppe Abmm konnte nach Lokalisierung der K-Atome (sie hatten untereinander zu kleine Abstände) ausgeschlossen werden. Lagen für die Wasserstoffatome des Kations konnten nur zum Teil gefunden werden. Die CH3-Gruppen wurden daher als starre Gruppen verfeinert. Auch bei der Lösung der Struktur von 3 war die Ermittlung der Raumgruppe (Pcam, Standardaufstellung Pbcm, zentrosymmetrisch, oder Pca2₁, azentrisch) wegen Pseudosymmetrie erschwert. Die E-Statistik deutete Zentrosymmetrie an. Eine Verfeinerung in Raumgruppe Pcam nach Lokalisierung der Molybdänatome durch Pattersonmethoden führte mit R = 0.10 zu einem Modell, bei dem die Liganden an den Molybdänatomen fehlgeordnet waren, sich aber zwei verschiedenen individuellen dimeren Ionen zuordnen ließen. Erst die anschließende Verfeinerung in der Raumgruppe Pca2₁ unter Einschluß nur der Atome, die zu einem der beiden Dimeren gehörten, brachte die richtige Lösung mit R = 0.023. Die Wasserstoffatome des koordinierten Wassermoleküls wurden in Differenzsynthesen aufgefunden, die CH₃-Gruppen als starre Gruppen verfeinert. Die Tabellen II und III enthalten die Atomparameter von 1 und 3.

Nach Drehkristall- und Weißenbergaufnahmen ist die Wolframverbindung **4** zu **3** isotyp. **2** kristallisiert nach Filmaufnahmen hexagonal, Laue-Symmetrie 6/m, mit den Gitterkonstanten a=1740 und c=1280 pm, Reflexe 00l mit l=2n+1 ausgelöscht. **2** ist danach isotyp zu $M^I(NMe_4)_2[V_3O_3F_{12}], M^I=Na,$ K [6]. **5** kristallisiert monoklin in der Raumgruppe $P2_1/n$ mit a=1119,7(3), b=822,9(2), c=1310,8(4) pm und $\beta=91,44(2)^\circ$. Die Elementarzelle enthält 2 Formeleinheiten. Die Struktur konnte mit 1474 unabhängigen Reflexen nur bis zu R=0,182 verfeinert werden. Die Elektronendichte-Differenzsynthese enthielt in der Nähe des Molybdänatoms zwei hohe Restpeaks. Sie zeigen an, daß im untersuchten Kri-

Tab. I. Kristalldaten und Daten zur Strukturbestimmung.

| Formel | $K_2(NMe_4)[Mo_2O_2F_9] \cdot H_2O$ (1) | $(NMe_4)_2[Mo_2O_4F_6(H_2O)]$ (3) |
|--|---|-----------------------------------|
| Molmasse | 564,9 | 535,8 |
| Kristallsystem | orthorhombisch | orthorhombisch |
| Raumgruppe | Abm2 | Pca2 ₁ |
| a (pm) | 632,4(2) | 1086,5(2) |
| b (pm) | 2078,8(6) | 1386,1(2) |
| c (pm) | 1252,3(4) | 1194,4(2) |
| $V (mm^3)$ | 1,646 | 1,798 |
| Z | 4 | 4 |
| $Q_{\text{gem}} (\mathbf{g} \cdot \mathbf{cm}^{-3})$ | 2,26 | 1,98 |
| $Q_{\rm ber} (g \cdot \rm cm^{-3})$ | 2,28 | 1,98 |
| Kristallgröße (mm³) | $0.12 \times 0.2 \times 0.45$ | $0,1 \times 0,1 \times 0,4$ |
| Meßtemperatur (K) | 300 | 300 |
| Abs. Koeff. μ (cm ⁻¹) | 20,87 | 14,4 |
| Abs.Korrektur | ψ -scan | ψ -scan |
| $2\vartheta_{\text{max}}$ (°) | 54 | 54 |
| gemessene Reflexe | 978 | 2271 |
| unabh. Reflexe | | |
| mit $I \ge 1.96 \sigma(I)$ | 949 | 1826 |
| Parameter | 101 | 231 |
| R | 0,020 | 0,023 |
| $R_{ m w}$ | 0,021 | 0,023 |

Tab. II. Atomparameter von 1.

| Atom | $x \cdot 10^4$ | $y \cdot 10^4$ | $z \cdot 10^4$ | $U_{eq} \cdot 10^{-1}$ |
|------|----------------|----------------|----------------|------------------------|
| Mo | 5653,5(4) | 1465,4(1) | 5000 | 33,7(1) |
| F1 | 7968(5) | 1564(2) | 6027(4) | 69(1) |
| F2 | 7571(9) | 1593(3) | 3850(4) | 90(2) |
| F3 | 3316(6) | 1680(2) | 4087(3) | 65(1) |
| F4 | 3742(6) | 1654(2) | 6184(3) | 59(1) |
| F5 | 5916(5) | 2500 | 5087(6) | 54(1) |
| O | 5541(6) | 0674(2) | 4983(7) | 82(2) |
| N | 0000 | 5000 | 2492(6) | 44(1) |
| C1 | 1283(12) | 4554(5) | 3175(7) | 85(2) |
| C2 | 1381(13) | 5403(5) | 1824(7) | 86(3) |
| K1 | 0707(2) | 2500 | 5341(1) | 47,6(4) |
| K2 | 4100(2) | 2500 | 2474(1) | 48,7(4) |
| OW | 9681(11) | 2500 | 2632(6) | 64(2) |

Tab. III. Atomparameter von 3.

| Atom | $x \cdot 10^4$ | $y \cdot 10^4$ | $z \cdot 10^4$ | $U_{eq} \cdot 10^3$ |
|-------|----------------|----------------|----------------|---------------------|
| Mo1 | 5741,1(3) | 2806,9(2) | 2550,6(4) | 26,12(9) |
| Mo2 | 9537,7(3) | 2176,9(2) | 2500 | 25,79(9) |
| F1 | 5608(2) | 1447(2) | 2446(4) | 46,8(9) |
| F2 | 6413(2) | 4084(2) | 2462(3) | 51,6(8) |
| F3 | 9562(2) | 3533(2) | 2434(5) | 61(1) |
| F4 | 9100(3) | 0894(2) | 2884(3) | 75(2) |
| F5 | 9633(3) | 2355(3) | 4136(3) | 70(1) |
| F6 | 7583(2) | 2459(2) | 2916(2) | 35,4(7) |
| ow | 6650(3) | 2682(2) | 0868(3) | 44(1) |
| O1 | 4431(3) | 3058(3) | 1858(3) | 53(1) |
| O_2 | 5307(3) | 2906(2) | 3903(3) | 49(1) |
| O3 | 1059(3) | 1990(2) | 2329(3) | 43(1) |
| O4 | 8996(3) | 2023(3) | 1144(3) | 54(1) |
| N1 | 2569(4) | 0469(2) | 0013(4) | 29,9(9) |
| N2 | 2366(4) | 4540(2) | -0109(3) | 27(1) |
| C1 | 3322(5) | -0173(4) | -0734(5) | 42(2) |
| C2 | 1795(5) | 1110(5) | -0672(6) | 50(2) |
| C3 | 1730(6) | -0136(5) | 0727(5) | 46(2) |
| C4 | 3391(6) | 1050(5) | 0759(5) | 51(2) |
| C5 | 1688(5) | 3959(4) | 0736(5) | 41(2) |
| C6 | 3002(6) | 3893(5) | -0911(5) | 52(2) |
| C7 | 1489(5) | 5170(4) | -0719(5) | 44(2) |
| C8 | 3305(5) | 5151(4) | 0488(5) | 44(2) |

stall ungefähr 15% der Anionen fehlgeordnet sind. Auf weitere Verfeinerungsversuche wurde daher verzichtet*.

Ergebnisse und Diskussion

In stark flußsauren Lösungen liegen oktaedrische [MoO₂F₃(H₂O)]⁻-Ionen vor. Die Verbreiterung der ¹⁹F-NMR-Signale weist darauf hin, daß die den Oxoliganden gegenüber stehenden Liganden zu dissoziativem Austausch neigen. Ihre Bindung ist, bedingt durch den trans-Einfluß, am schwächsten. Für das in trans-Stellung gebundene Wassermolekül ergeben sich folgende Möglichkeiten zum Austausch: (a) durch ein Fluoridion; es entsteht das [MoO₂F₄]⁻-Ion [7]; (b) durch eine $[MoO_2F_3(H_2O)]^-$ -Gruppe; es entsteht das $[Mo_2O_4F_6(H_2O)]^{2-}$ -Ion; (c) durch eine $[MoO_2F_4]^{2-}$ -Gruppe; es entsteht das $[Mo_2O_4F_7]^{3-}$ -Ion [7]. Höher kondensierte Ionen wie das zyklische trimere $[Mo_3O_6F_9]^{3-}$ -Ion und das polymere [MoO₂F₃]⁻-Ion [8] oder auch dimere das [Mo₂O₄F₆]²⁻-Ion [9] entstehen durch Verknüpfung von MoO₂F₃-Gruppen. Durch geeignete Wahl der Art und der Konzentration von Kationen lassen sich die genannten Anionen in Form von Salzen isolieren. Im vorliegenden Fall gilt:

 $(NMe_4)_2[Mo_2O_4F_6(H_2O)]$ (3) erhält man bei einem Verhältnis NMe_4^+ : Mo von 1:1,5 und in Abwesenheit von Alkalimetallionen; bei Zugabe von KCl und bei höherer Molybdänkonzentration entsteht $K(NMe_4)_2[Mo_3O_6F_9]$ (2) und mit NEt_4^+ als Gegenion $(NEt_4)_2[Mo_2O_4F_6]$ (5).

Ähnliche Verhältnisse liegen auch in Lösungen von Molybdän(V) vor. Doch hier dominieren wie bei Vanadin(V) die Monoxospezies $[MoOF_4(H_2O)]^-$ und $[MoOF_5]^{2-}$. Ihre Kondensation ergibt das dimere $[Mo_2O_2F_9]^{3-}$ -Ion. In schwachen flußsauren Lösungen tritt teilweise Hydrolyse ein und es bilden sich die von uns früher beschriebenen dimeren Anionen $[Mo_2O_4F_4(H_2O)_2]^{2-}$ bzw. $[Mo_2O_4F_6]^{4-}$ mit der bekannten $[(\mu-O)_2Mo_2O_2]$ -Gruppe [10].

Strukturbeschreibungen

1. $K_2(NMe_4)[Mo_2O_2F_9] \cdot H_2O$ (1). Das Anion von 1 (s. Abb. 1 und Tab. IV), dessen Struktur jetzt erst-

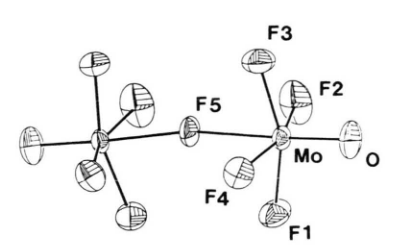


Abb. 1. Struktur des Anions von 1.

^{*} Weitere Einzelheiten zur Kristallstrukturuntersuchung können beim Fachinformationszentrum Energie, Physik, Mathematik GmbH, D-7514 Eggenstein-Leopoldshafen 2, unter Angabe der Hinterlegungsnummer CSD 53660, der Autoren und des Zeitschriftenzitats angefordert werden.

Tab. IV. Wichtige Abstände (pm) und Winkel (Grad) in 1.

| Mo-F1 | 195,5(4) | Mo-F4 | 195,3(3) |
|----------|-------------|-----------|----------|
| Mo-F2 | 190,1(5) | Mo-F5 | 216,0(3) |
| Mo-F3 | 192,1(4) | Mo-O1 | 164,6(3) |
| F2-OW | 276,8(2) 2× | | |
| F1-Mo-F2 | 90,3(2) | F3-Mo-F4 | 85,9(1) |
| F1-Mo-F4 | 86,7(2) | F5-Mo-O1 | 177,1(3) |
| F2-Mo-F3 | 90,4(2) | Mo-F5-Mo' | 169,4(3) |
| | | | |

Tab. V. Wichtige Abstände (pm) und Winkel (Grad) in 3.

| Mo1-F1 | 189,4(2) | Mo2-F3 | 188,2(2) |
|----------------|----------|-----------|----------|
| Mo1-F2 | 191,8(2) | Mo2-F4 | 189,7(3) |
| Mo1-OW | 224,6(3) | Mo2-F5 | 197,2(3) |
| Mo1-F6 | 210,5(4) | Mo2-F6 | 221,6(2) |
| Mo1-O1 | 168,2(4) | Mo2-O3 | 168,6(3) |
| Mo1-O2 | 168,9(4) | Mo2-O4 | 173,6(3) |
| $O4\cdots OW$ | 272,7(3) | OW-H1 | 104,9(3) |
| $F5 \cdots OW$ | 253,6(3) | OW-H2 | 102,8(3) |
| O1-Mo1-O2 | 102,6(2) | O3-Mo2-O4 | 101,6(2) |
| O1-Mo1-F6 | 162,5(2) | O3-Mo2-F6 | 173,8(1) |
| O2-Mo1-OW | 170,1(2) | O4-Mo2-F5 | 163,2(2) |
| OW-Mo1-F6 | 75,5(1) | O4-Mo2-F6 | 84,6(1) |
| F1-Mo1-F2 | 160,7(1) | F3-Mo2-F4 | 161,8(2) |
| Mo1-F6-Mo2 | 154,9(1) | | |
| | | | |

malig genau ermittelt werden konnte, besitzt kristallographisch C_s-Symmetrie, wobei nur das verbrükkende Fluoratom auf der Spiegelebene liegt. Der Mo-F5-Abstand beträgt 216,0(3) pm und ist damit um ca. 23 pm größer als die vier äquatorialen Mo-F-Bindungen mit Längen von 190,1(5) bis 195,3(4) pm. Der trans-Effekt durch die terminale Mo=O-Gruppe ist deutlich kleiner als in Fluoromonoxovanadaten; im K(NMe₄)[V₃O₃F₁₂] [6] führt er z.B. zu einer Bindungsverlängerung von bis zu 50 pm. Der Mo=O-Abstand beträgt 164,6(3) pm und ist um ungefähr 8 pm kürzer als im monomeren (NH₄)₂[MoOF₅] [11]. Dem entspricht auch die hohe Wellenzahl von 995-1015 cm⁻¹ für ν Mo=O. 1 ist hydrolyse- und oxidationsempfindlich. Im IR-Spektrum (KBr-Preßling) sind Banden einer Mo(VI)-Spezies mit cis-Dioxo-Gruppen zu erkennen (s. Tab. VI). Auch im untersuchten Kristall ist eine geringfügige Teilbesetzung der Lage F2 mit Sauerstoff nicht auszuschließen. Ähnliche Effekte, allerdings in viel stärkerem Maße, wurden bei (NH₄)₃[Mo₂O₂F₉] beobachtet [11]. Im Gitter finden sich Schichten entlang c aus dem dimeren Anion und einem K+-Ion, zwischen denen sich das weitere K⁺- und das NMe₄⁺-Ion sowie das Kristallwasser befinden. Die K⁺-Ionen sind achtfach koordiniert.

Tab. VI. Schwingungsspektren von 1 bis 4. Wellenzahlen in cm⁻¹.

| 1 IR | Raman | 2 IR | Raman | 3 IR | Raman | 4 IR | Raman | Zuordnung |
|---------|---------|---------|--------|------------|-----------|----------------|--------|------------------------|
| 1652 m | | | | 1627 w | | 1628 | | H ₂ O |
| 1487 s | | 1488 s | | 1488 vs | | 1487 | | TMA |
| 1418 w | | 1415 w | | 1416 m | | 1413 | | TMA |
| 995 vs | 1015 vs | | | | | | | MoO |
| 962* m | 962* w | 963 s | 976 vs | | 959 vs | 969 vs | 968 vs | $\nu_{s}MoO_{2}$ |
| 950 s | 948 w | 950 s | 947 sh | 949 vs | 951 s, sh | 949 vs | 949 w | TMA |
| | | 938 s | 938 m | 929 vs. sh | 928 m, sh | 928 w | 938 sh | |
| | | 931 vs | | 920 vs | 920 m | 893 vs | 900 w | $v_{as}MoO_2$ |
| 912* m | 909* vw | 923 vs | 921 w | 900 vs | 901 m | 877 vs | 872 m | 43 2 |
| | 755 m | | 754 m | | 755 m | | 757 m | TMA |
| | | 703 w | | 718 w | | | | |
| 567 vs | 588 m | 579 vs | 588 vw | 592 s | 588 | 599 m | 605 vw | |
| | | | | 564 vs | 560 w | 575 vs | | ν MoF, |
| | | | | | | 519 m | | |
| 418 m | 458 vw | 451 m | 460 w | 450 m | 461 w | 467 m | 461 vw | ν MoF _b |
| | | 388 w | 390 m | 389 w | 383 | | 383 vw | δMoO_2 |
| | 287 | 279 w | 298 m | 310 w | | | 312 m | |
| | 226 | 215 w | 227 w | 287 m | | | 300 w | |

^{*} Siehe Text.

2. Das Anion von 2 enthält Ringe aus drei MoO₂F₂F_{2/2}-Oktaedern, die über cis-stehende Fluoratome eckenverknüpft sind. Sein Aufbau entspricht dem des [V₃O₃F₁₂]³⁻-Ions [6]. Das gleiche Bauelement, das MoO₂F₂F_{2/2}-Oktaeder, ist auch im dimeren Anion von 5 enthalten. Die beiden Oktaeder sind hier über eine von Fluoratomen besetzte Kante verknüpft. Das dimere Anion ist auch in der früher beschriebenen Verbindung [MoO(S₂CNEt₂)₃][Mo₂O₄F₆] enthalten [12]. Wegen der Fehlordnung im Kristall ist eine Diskussion einzelner Bindungsparameter von 5 nicht sinnvoll. Zusammen mit Cs[MoO₂F₃] [8] sind jetzt von der Reihe $(MoO_2F_3^-)_n$ Anionen mit n = 2, 3 und ∞ bekannt. Einziger Bindungsparameter, der in dieser Reihe sich stark verändert, ist der Mo-F_b-Mo-Winkel. Er beträgt im Cs[MoO₂F₃] 180° und in 5 ungefähr 111°. Dies weist auf die ionische Natur der Mo-F_b-Bindungen hin, die infolge des trans-Einflusses durch terminale Mo=O-Bindungen stark geschwächt sind.

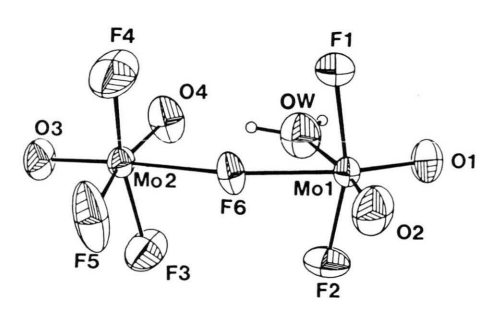


Abb. 2. Struktur des Anions von 3.

3. **3** enthält das neuartige, fluorverbrückte dimere und unsymmetrische Anion [Mo₂O₄F₆(H₂O)]²⁻. Die Molybdänatome Mo1 und Mo2 (s. Abb. 2 und Tab. V) sind jeweils von 2 endständigen Sauerstoffatomen in der üblichen *cis*-Stellung, zwei zueinander *trans*-ständigen Fluoratomen, F1, F2, F3 und F4, und dem verbrückenden Fluoratom F6, in *trans*-Stellung zu einer terminalen Oxogruppe, koordiniert. Die sechste Koordinationsstelle ist bei Mo1 durch ein Wassermolekül im Abstand von 224,6(3) pm, bei Mo2 durch ein weiteres Fluoratom, F5, im Abstand von 197,2(3) pm besetzt. Die Abstände der axialen Fluoratome F1 bis F4 liegen im engen Bereich von

188,2(2) bis 191,8(2) pm. Drei der vier Mo=O-Bindungen sind mit 168,2(4) bis 168,9(4) pm praktisch gleich lang. O4 an Mo2 im Abstand 173,6(3) pm ist Akzeptor einer intermolekularen Wasserstoffbrükkenbindung, die von dem an Mo1 gebundenen Wassermolekül ausgeht. Der Abstand O4···OW beträgt 272,7(3) pm. Die Ausbildung dieser H-Brückenbindung wird durch den relativ kleinen Mo1-F6-Mo2-Winkel von 154,9(1)° begünstigt. Die Mo-F6-Bindungen mit 210,5(2) pm (Mo1-F6) und 221,6(2) pm (Mo2-F6) sind nicht gleich lang; der am schwächsten gebundene Ligand an Mo2 ist F6, an Mo1 aber das Wassermolekül. Diese 3 Atome sowie O4, OW und das H-Atom HW1 liegen nahezu in einer Ebene und bilden einen sechsgliedrigen Ring. Im Gegensatz dazu sind im analogen Anion des Vanadins(V), [V₂O₂F₈(H₂O)]²⁻, die bei-Koordinationspolyeder am verbrückenden Fluoratom um ungefähr 45° verdreht, so daß keine kurze intermolekulare Wasserstoffbrückenbindung ausgebildet werden kann [6]. In der Elementarzelle bilden die Anionen Schichten bzw. über eine intramolekulare Wasserstoffbrückenbindung Ketten, zwischen denen in Kanälen die NMe4+-Ionen liegen. Die Isolierung dieses dimeren Anions bestätigt die NMR-Messungen, daß in wäßrigen Lösungen von HF und MoO₃ vorwiegend [MoO₂F₃(H₂O)]⁻-Ionen vorliegen.

Die Schwingungsspektren der Molybdänverbindungen 1-4 sind in Tab. VI zusammengefaßt. Charakteristisch sind die den Valenzschwingungen terminaler Mo=O- bzw. W=O-Bindungen zugeordneten Banden im Bereich von 877-1015 cm⁻¹; da bei 950 cm⁻¹ auch eine Bande des Kations NMe₄⁺ liegt, ist die Zuordnung bei 2, 3 und 4 nicht ganz zweifelsfrei, insbesondere da hier mehr als eine v_sMoO₂-Bande zu erwarten ist. Die Valenzschwingungen terminaler Mo-F- bzw. W-F-Bindungen liegen bei 560-600 cm⁻¹, die der Mo-F-Mo- bzw. W-F-W-Bindungen bei 420-460 cm⁻¹. Bei der nicht in die Tabelle aufgenommenen Verbindung 5 liegt im IR-Spektrum $\nu_s \text{MoO}_2$ bei 952 cm⁻¹ und $\nu_{as} \text{MoO}_2$ bei 925 cm⁻¹. Entsprechend den Auswahlregeln wird im IR- und Ramanspektrum nur jeweils eine Bande beobachtet.

Die Arbeit wurde durch den Fonds der Chemischen Industrie finanziell gefördert.

- [1] J. U. Hatton, Y. Saito und W. G. Schneider, Can. J. Chem. 43, 47 (1965).
- [2] A. S. Howell und K. C. Moss, J. Chem. Soc. (A) 1971, 270.
- [3] R. J. Gillespie und U. R. K. Rao, J. Chem. Soc. Chem. Commun. 1983, 422.
- [4] Y. A. Buslaev und S. P. Petrosyants, Russ. J. Inorg. Chem. 16, 702 (1971).
- [5] Y. A. Buslaev, S. P. Petrosyants und V. I. Chagin, Russ. J. Inorg. Chem. 17, 368 (1972).
- [6] M. Hilbers, M. Leimkühler und R. Mattes, Z. Naturforsch. 44b, (1989).

- [7] Y. A. Buslaev und R. L. Davidovich, Russ. J. Inorg. Chem. 10, 1014 (1965).
- [8] R. Mattes, G. Müller und H. J. Becher, Z. Anorg. Allg. Chem. 389, 177 (1972).
- [9] G. Müller, Dissertation, Münster (1974).
- [10] R. Mattes und G. Lux, Z. Anorg. Allg. Chem. **424**, 173 (1976).
- [11] R. Mattes, K. Mennemann, H. Rieskamp, H. Jäckel und H.-J. Brockmeyer, J. Less Common-Met. 76, 199 (1980).
- [12] J. Dirand, L. Ricard und R. Weiss, Trans. Met. Chem. 1, 2 (1975).